

(株) 日本水道コンサルタント 正員 加藤 善盛
 同 上 " 白瀬 良一
 同 上 " ○酒井 彰

1. はじめに

下水処理場においては、流入側において種々の負荷変動を受けていますが、近年処理機能の安定化のために、流入側での流量調整、計装施設の高度化、施設余裕の確保がすすめられてます。しかし現実の処理場における機能などのアロセスなどの程度負荷変動に対する弾力性を有してますかについての基礎的検討は不十分であるのが現状であります。終流本報では、処理機能の改善、安定化のための方策を抽出する目的で、まず負荷量変動に対する弾力性をマクロヒトとえ、つ

表-1

| 項目 | 運転管理指標 | A | B | B/A |
|----|---------------------|-------|-------|------|
| 初期 | 沈砂時間 (hr) | 0.727 | 1.01 | 1.39 |
| | 水面積負荷 (kg/m²/hr) | 94.6 | 63.1 | 0.67 |
| | 固形物負荷 (kg/m³/hr) | 28.6 | 10.3 | 0.36 |
| 初期 | アレーテンク時間 | 4.72 | 6.19 | 1.31 |
| | MLSS (mg/l) | 2660 | 1870 | 0.91 |
| | BOD-SS負荷 (kg/m³/hr) | 0.356 | 0.366 | 1.03 |
| | 返送率 (%) | 26.8 | 32.3 | 1.12 |
| 終流 | SVI | 120 | 112 | 0.93 |
| | 沈砂時間 (hr) | 2.36 | 2.68 | 0.88 |
| | 水面積負荷 (kg/m²/hr) | 31.7 | 38.3 | 1.21 |
| | 固形物負荷 (kg/m³/hr) | 67.0 | 69.0 | 1.03 |
| | SRT (日) | 4.94 | 6.86 | 1.39 |

ここで各流入、運転管理指標の処理機能に対する安定化への影響度を分析したので報告します。

2. 処理場概要

分析対象資料は合流式A、Bの2処理場につき過去10回行なわれた通日試験値を対象とした。処理水量規模はA処理場； $10 \times 10^4 \text{ m}^3/\text{日}$ 、B処理場； $11.7 \times 10^4 \text{ m}^3/\text{日}$

であり、ほぼ同規模である。両処理場の平均運転状況を表-1に示す。

表-3

| 項目 | 処理場名 70日間 | A | | | B | | |
|-----|---------------|-------|-------|-------|-------|-------|-------|
| | | a | b | r | a | b | r |
| BOD | ① 汚水 → 初沈流入 | 0.223 | 68.8 | 0.929 | 0.713 | 8.39 | 0.992 |
| | ② 初沈流入 → 初沈流出 | 1.880 | 0.001 | 0.901 | 0.786 | 3.56 | 0.980 |
| | ③ 初沈流出 → 处理水 | 0.723 | 0.652 | 0.934 | 0.978 | 0.122 | 0.963 |
| | ④ 流入水 → 处理水 | 0.686 | 0.804 | 0.933 | 0.577 | 1.806 | 0.975 |
| SS | ① 流入水 → 初沈流入 | 0.430 | 99.3 | 0.843 | 0.702 | 9.281 | 0.992 |
| | ② 初沈流入 → 初沈流出 | 1.045 | 0.214 | 0.854 | 0.902 | 0.928 | 0.981 |
| | ③ 初沈流出 → 处理水 | 0.68 | 1.445 | 0.923 | 1.071 | 0.130 | 0.969 |
| | ④ 流入水 → 处理水 | 0.416 | 6.811 | 0.899 | 0.685 | 0.994 | 0.952 |

表-3

| 処理場 | 初期 | 二次処理室 | |
|-----|-------|--------|-------|
| | | アレーテンク | SVI |
| A | 非弾力的 | 曝気時間 小 | 弾力的 |
| BOD | 800 | 1.880 | SRT 小 |
| SS | 1.045 | | 0.681 |
| B | 弾力的 | 曝気時間 大 | 非弾力的 |
| BOD | 0.786 | SRT 大 | 0.979 |
| SS | 0.902 | | 1.077 |

表-4

| |
|---|
| 1. 流入水量 ($10^4 \text{ m}^3/\text{日}$) // BOD-SS負荷 ($\text{kg}/\text{m}^3/\text{日}$) |
| 2. 流入BOD (mg/l) // 過濾汚泥負荷 ($\text{kg}/\text{m}^3/\text{日}$) |
| 3. 流入SS (mg/l) // 過濾汚泥負荷 ($\text{kg}/\text{m}^3/\text{日}$) |
| 4. 水温 ($^\circ\text{C}$) // 反応槽温度 ($^\circ\text{C}$) |
| 5. 初沈池BOD (mg/l) // 過濾汚泥負荷 ($\text{kg}/\text{m}^3/\text{日}$) |
| 6. 初沈池SS (mg/l) // 過濾汚泥負荷 ($\text{kg}/\text{m}^3/\text{日}$) |
| 7. 初沈池出水 (mg/l) // 初沈池BOD (mg/l) |
| 8. 曝気時間 (hr) // 過濾池SS (mg/l) |
| 9. MLSS (mg/l) // 初沈池汚泥前濃度 (mg/l) |
| 10. SVI // 過濾池固形物負荷 (mg/l) |

式(1)を積分すると

$$Y = bX^a$$

(1)

で表わせます。(bは積分定数) a, bおよび相関係数を表-2に示す。弾力性指数の値を処理場間で比較すると、初沈についてはB処理場、二次処理(アレーテンク+最終池)ではA処理場の方が弾力性を有しています。表-1に示した運転状況と比較すると、初沈については、A処理場で水面積負荷、固形物負荷の大きさについて対応させらるるが、二次処理アロセスでは、アレーテンク条件に大きな差がみられないため、終流の弾力性、と共に水面積負荷あるいはSRTの差が関連しているものと思われます。また流入水→初沈流入でのaの値から、A処理場では、負荷量変動において場内返流水の影響が大きいことがわざる。総合では、BOD~SSとも流入負荷量変動に対し、処理水負荷量変動は0.6~0.7を影響してます。ニニでの分析で得られた内容をまとめると表-3のようになります。

4. 処理水レベルの変動における関連要因の分析

前節での解析は、弾力性について水量の影響は分離されていません。ニニでは統計的手法を用いて流入条件、操作指標、運転管理指標、処理水レベルとの関連を考察した。

表-4に示した要因について主成分分析を行った結果が図-1, 2である。両処理場とも、日内で変動の大きい水量因子が第1主成分に現れている。A処理場においては、第2主成分より判断すれば、処理水BODは、BOD-SS負荷、MLSS、終沈固形物負荷との関連が強い。B処理場では、放流水SSと流量の関係がみられ、第2主成分からは、処理水BODレベルは、水温、初沈流出水BOD、SVIと共に正の相関をもつことが認められ、初沈流出BODの増加、SVIの上昇が処理水BODの悪化につながっている。このことは処理水BODが季節要因、すなはち沈殿池機能に影響されていると考えられる。

つぎに表-5に示した要因を、説明変数として、重回帰分析により処理水レベルを表現する経験式を作成した。分析は各ステップごとに実測値、計算値の差の乗和を最も縮小する1人との変数を順次回帰式に組み込む段階回帰によった。5つの説明変数を算入したときの回帰式(表-6)および5つのときの標準偏回帰係数、重相関係数(表-7)を示す。A処理場のBODについては、BOD-SS負荷との関連が他の要因に比べて大きく、F/M比の変動および、同一試験毎のBOD-SS負荷と初沈流出負荷量と比例することから、日内流量変動が処理水BODの変動に影響していると考えられ、F/M比と関連の大きいことは主成分分析結果と一致する。SVIはつまびらか、初沈流出SS、初沈汚泥引揚率の標準偏回帰係数の高さなど、さらに表-2より流入負荷量→初沈流出負荷量との弾力性の小ささにより、初沈での汚泥管理が処理レベルを左右しているものと解釈される。

B処理場でのBOD処理レベルが、終沈水面積負荷、曝気時間等の流量因子との関連が大きく、また水温とも関連がみられることは、季節的な流量変動がA処理場に比べて大きいことと一致する。SVIは、日内での流量増大に伴う減少する因子すなはち返送率、終沈滞留時間と関連がみられ、日内の流量変動が伴う処理レベルの変動が大きいものとみられる。これらの結果はB処理場での終沈の弾力性が小さいことを対応付けられる。重回帰分析の結果なら總合的に処理水レベルは流入水質よりも、初沈流出水との関連が認められ、場内返流水の影響は両処理場とも小さくないと理解される。重回帰分析の結果は弾力性指標による検討結果とも対応しうるものである。

両処理場での処理機能を調整池の導入条件と関連付けて検討するとA処理場ではF/M比とともに関連する初沈での引抜操作および汚泥処理を含めた汚泥管理により、初沈における弾力化を計ることを一義的に考え必要がある。B処理場では、日内の変動が大きいこと、終沈が非弾力的という結果から、調整池のF/Mは処理前段での流量均一化の効果について、二次処理施設の余裕の確保の必要性の検討と共に考慮されべきである。

5. おわりに

弾力性指標による分析、および統計解析手法ぬ、分析対象として2処理場について、処理水レベル安定化のための有効と考えられる方策の考察を試みた。調整池導入の効果については、施設余裕を考慮することを含めた施設設計指標の検討、初沈および2次処理系における汚泥量制御方法の検討と併せてその可能性を考察する必要がある。また汚泥の沈降性と関連する要因を抽出することとは、処理水レベル安定化に有用な情報を提供するものと思われる。

-参考文献-「水量水質調整池の設計・適正化に関する調査報告書」日本下水道事業团(1978)、加藤下水処理場運転管理データの解析(II) NSC研究年報 16/1 No2(1977)

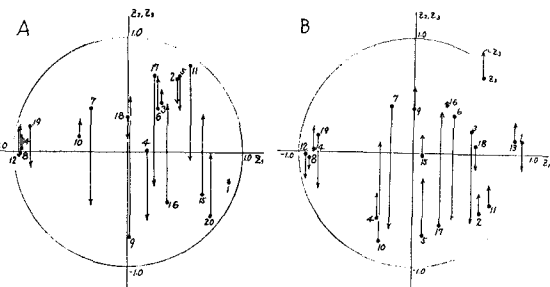


図-1

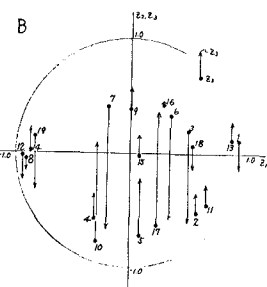


図-2

表-5

| | |
|----------------------|---------------------|
| 1. 流入BOD (mg/l) | 13. 遠送率 (%) (r) |
| 2. 流入SS (mg/l) | 14. 遠送汎泥濃度 |
| 3. 水温 (°C) | 15. 施設汚泥引揚率 |
| 4. 初沈流込BOD (mg/l) | 16. 計算MLSS (g/l) |
| 5. 初沈流込SS (mg/l) | 17. SBT (**) |
| 6. 初沈汚泥引揚率 | 18. 初沈固形物負荷 (kg/m³) |
| 7. 曝気時間 (hr) | 19. SRT (d) |
| 8. MLSS (X) (g/l) | * X = |
| 9. SVI | ** X / r Xr / (1+r) |
| 10. BOD-SS負荷 (kg/kg) | 12. 15 (BOD) |
| 11. 終沈滞留時間 (hr) | 12. 19 (SS) |
| 12. 終沈水面積負荷 (m²/d) | |

表-6

| 目的変数 | 重 回 帰 式 |
|----------|---|
| A 処理水BOD | $BOD = 1255.5 \times (BOD-SS\text{負荷})^{0.885} \times (\text{流入SS})^{0.141}$ $(mg/l) \times (\text{遠送率})^{0.404} \times (SVI)^{-0.620} \times (\text{初沈流込BOD})^{-0.109}$ |
| 処理水SS | $SS = 7.35 \times (\text{初沈流込SS})^{0.281} \times (\text{初沈汚泥引揚率})^{0.083} \times (SVI)^{-0.216}$ $(mg/l) \times (SBT)^{0.249} \times (\text{遠送率})^{-0.158}$ |
| 処理水BOD | $BOD = 1.12 \times (\text{終沈水面積負荷})^{0.662} \times (\text{水温})^{0.632}$ $(mg/l) \times (\text{初沈流込BOD})^{0.235} \times (SVI)^{0.044} \times (\text{曝気時間})^{-0.208}$ |
| 処理水SS | $SS = 170.9 \times (\text{遠送率})^{0.477} \times (SVI)^{-0.477} \times (\text{初沈流込BOD})^{0.004}$ $\times (MLSS)^{0.495} \times (\text{終沈滞留時間})^{-0.346}$ |

表-7

| 説明変数 | A | B |
|----------------|--------|--------|
| BOD SS | BOD SS | BOD SS |
| 流入SS | 0.208 | |
| 水温 | | 0.344 |
| 初沈汚泥引揚率 | | 0.493 |
| 初沈流込BOD | -0.051 | 0.187 |
| SVI | 0.437 | |
| BOD-SS負荷 | 1.851 | |
| MLSS | | -0.210 |
| 遠送率 | 0.561 | -0.158 |
| SBT | -0.194 | -0.198 |
| 曝気時間 | | -0.183 |
| 終沈水面積負荷 | | 0.533 |
| 終沈滞留時間 | | -0.237 |
| SVI | -0.388 | -0.198 |
| 重相関係数 | 0.796 | 0.557 |
| R ² | 0.633 | 0.301 |
| | 0.592 | 0.209 |